

IV-1 わだち路面の形状に関する研究

北大工学部	正員	〇半過	陸
〃	〃	加来照	俊
〃	〃	藤原隆	隆
〃	〃	小野寺雄輝	

1 まえがき

冬季積雪路面上に形成されるわだち氷面は、冬季の運転障害的一大要因であり、時として運転者が予期しない力を車両に与え、車線逸脱やスリップなどの事故を誘発する。また、最近の交通量の増大、あるいは重量車両交通の増大によって、幹線道路においては、夏季路面上にありても流動や摩擦によるわだち氷面が見られる。特に非積雪時ににおけるスピイクタイヤの使用は、この傾向に拍車をかけている。

道路横断方向の路面の凹凸やわだち氷面が車両の運動に与える影響は、主に乗り心地の観点から研究が行なわれてきているが、道路横断方向のわだち氷面の影響については、車両走行の操縦性、安定性に与える影響は大きとされながらも、未だ研究の緒についたばかりであり、わだち氷面の測定法すら確立されていない。

本研究は、車両運動の基本的な入力情報となる路面形状に関する研究の一歩として、どのような関数によつてわだち形状を近似する事が適当であるか、路面形状を離散的に測定する場合にその測定間隔をどの程度にすれば良いかを検討したものである。道路横断方向の路面形状を正弦波とする事が広く行われているが、横断方向のわだち形状は、特に冬季のそれは、夏季路面上のひめらかな曲線と異なり、階段状になり、それのが外観され正弦波以外の関数による近似が憶測される。交通量の多い道路におけるわだち形状の測定には多くの困難を伴う。形状を離散的に測定する場合に、迅速な測定と関連する測定間隔と近似精度の相關を明らかにしておく事は重要である。以上の解析を行なうために、冬季と夏季のわだち測定を北大構内にて実施した。

2. わだち形状の測定

冬季と夏季のわだち形状の測定を北大構内において実施し解析データとした。冬季は昭和58年2月1日～12日(6,11日除く)に、西8丁目通り工学部前道路に2測線A,Bを設定し北方の車線における形状を3cm間隔に測定した。測線Aは図-1に示すように、多くの車両が十字路で停止した後加速状態にあると考えられ、測線Bはほぼ定常走行中であると考えられる地点である。図-2は、太線が測線A、細線がBにおける形状を示してあるが、左右にシフトしている(測定ミス?)例を除き、AとBの形状に違いは見られない、相互相関係数は0.94～0.98となる。図-3は、

夏季の測定は、昭和58年11月26日に、北13条通り西方向車線に3測線A,B,Cを設定し行なった。測線Aは、十字路の手前であり多くの車が減速中と、測線Bは定常走行中と、そして測線Cは加速中と考えられる地点である。わだち形状を図3に示す。A,B,Cにおける測線の相互の相関係数は0.89～0.94と高いがわだちの山頂と谷底の高さ差は、A,B,Cそれぞれ大きな方の値で、17.5, 15.5, 21.8mmとなる。これが、減速、定常および加速の各走行状態の反映であるのか、オーバーレイ時期の違いによるのかは不明である。

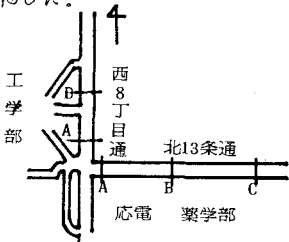


図-1 わだち形状の測定地点

58.2.1-2.12 (太線:A, 細線:B)

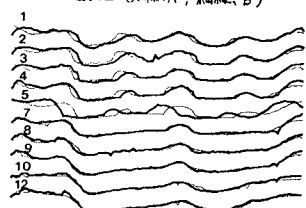


図-2 冬季路面のわだち形状

58.11.26



図-3 夏季路面のわだち形状

3. 直交近似関数

N個の測定データ $(x_0, y_0), (x_1, y_1), \dots, (x_N, y_N)$ が得られた時、被近似式 $g(x) = a_0 + a_1 x + \dots + a_N x^N$ ($n < N$) が最小二乗の意味において、測定値に近似するよう係数 a_0, a_1, \dots, a_N を定める。 $y_k(x)$ が直交性を有する時、 a_k は

$$a_k = \frac{\sum_{n=0}^N y_n y_k(x_n)}{\sum_{n=0}^N y_k^2(x_n)}$$

として求められる。分子 $(y_k, y_k) = \sum_{n=0}^N y_k^2(x_n)$ を 近似関数 $y_k(x)$ のルムと呼ぶ。

直交性を有する関数は数多くあるが、ここでは、準ミニ・マックス近似としての Tchebycheff 近似、単位の重み係数をもつ多項式である Legendre 多項式が、離散表現された Gram の直交多項式、めだち、特に冬季のめだちが、階段状の外観をしていることから、+1と-1どちらなる Walsh 関数による近似、そして近似関数として最も広く利用されている Fourier 近似を解析の対象とした。

これら4つの関数の関数式とルム、そして0～5次までの関数形を表に示した。(Walsh 関数ではその構成関数である Rademacher 関数を図示した) その他の関数の説明および特性などについては本書に詳しいので多言を要しないが、実際の数値計算にあたっては、いくつもの工夫を要する。

フーリエ変換において、データ数 N が 2 のべき乗である時に、高速フーリエ変換 (F.F.T.) が、その演算時間短縮に大きな効果を持つ算法であることは広く知られているが、Walsh 变換においても、この関数自体が、次数 m の二進桁数だけの Rademacher 関数から合成されるため、フーリエ変換以上にデータ数の影響を受け、データ数が大きい時には、パソコン程度の計算機では、変換あるいは逆変換演算に多大な時間を要する。

ここでは、東洋計画法の直交化法における Yates の算法を応用して変換手順を確立した。すなわち、Yates の算法による4次ためたる各データの和と差の演算が、ある一定の法則で並べ換えられ Walsh 变換に対応していることを利用したものである。Walsh 逆変換も全く同様の手順で行なうことが出来る。ここで言う“ある一定の法則に基づく並べ換え”は、高速フーリエ変換の算法中にも見られるものである。

Walsh 近似、Fourier 近似において データ数 N が 2 のべき乗となるよう補間を行い、その他に、Tchebycheff 近似にありとも、変域 $(-1, 1)$ で与えられるティビシェフ分点に対応した線形補間を行なう。

表-1 解析に用いた直交関数

	Tchebycheff 近似	Gram 直交多項式近似	Walsh 近似	Fourier 近似
関数形とそのルム	$T_k(x_v) = \cos[k \cos^{-1} x_v]$ $\sum_{v=0}^N T_k(x_v)^2 = \frac{N+1}{2} \quad (k \neq 0)$ $= N+1 \quad (k=0)$ $x_v: T_{N+1}(x)=0$ の $N+1$ 個の根	$P_k^N(v) = \sum_{j=0}^k (-1)^j \binom{k}{j} \binom{k+j}{j} \frac{(v)^{k+j}}{(N)^{k+j}}$ $\sum_{v=0}^N P_k^N(v)^2 = \frac{1}{2k+1} \frac{(N+1)!}{(N-k)!}$ $(v)^{k+j} = {}_v P_j$ 階乗多項式	$W_k(v) = \prod_{j=0}^{m-1} [R_{j+k}(v)]^{n_j}$ $\sum_{v=0}^N W_k(v)^2 = N$ $R_j(v): j$ 次の Rademacher 関数 $R_k = \sum_{j=0}^{m-1} n_j 2^{j-k}$	$F_k(v) = \exp[\pm \frac{2\pi k v}{N}]$ $\sum_{v=0}^N F_k(v)^2 = N$ + : フーリエ逆変換 - : フーリエ変換
0次	* Tchebycheff *	* Gram *	* Rademacher *	* Fourier *
1次				
2次				
3次				
4次				
5次				

4 解析結果

各近似関数による収束状況を図4(冬季2月1日A地点)と図5(夏季11月26日A地点)に示す。ちなみに、測定記録から求められた係数 a_j を用いて $g(j)=\sum_{j=0}^{N-1} a_j \varphi_j(j)$ の計算を Tchebychef(略称Tchb.), Gram, そして Walshの各関数について、 $k=5, 10, 15, 20, 30, 40, 60$ の項数まで、Fourier関数については、収束性が良いので $k=2, 3, 5, 10, 15, 20, 30$ の項数まで求めたものである。図において、実線が、各長の値に対する被近似曲線を、破線が測定曲線を表している。

こからの図において、夏季の路面が冬季の路面よりやるやかしなめらかは実験であるので少ない項数で良い近似となり、ているとともに、 Fourier 近似が夏季だけではなく冬季においても他の関数より優れた収束性を示している。近似的誤差を $\sum_{j=0}^{N-1} [y_j - g(j)]^2 / \sum_{j=0}^{N-1} y_j^2$ にて表わす時、冬季路面で、誤差が 5% 以下になるのが、Tchebychef 関数と Gram 多項式では $k>15$ の時、Walsh 関数では $k>20$ の時であるのに対し、Fourier 関数では $k>5$ となっている。夏季においても同様であり、Fourier 近似では $k>3$ の時に早くり 5% 以下の誤差となり、ている。

Tchebychef 関数と Gram 多項式はともに、しに開して多項式表現される関数である。収束性は Gramの方が若干良い結果となっているが、Gram の多項式では、次数が大きくなるにつれ、係数 a_k の値も非常に大きくなるため、けた落ちなどの計算誤差の影響が 図4, 5 の $k=60$ の場合に現れる。

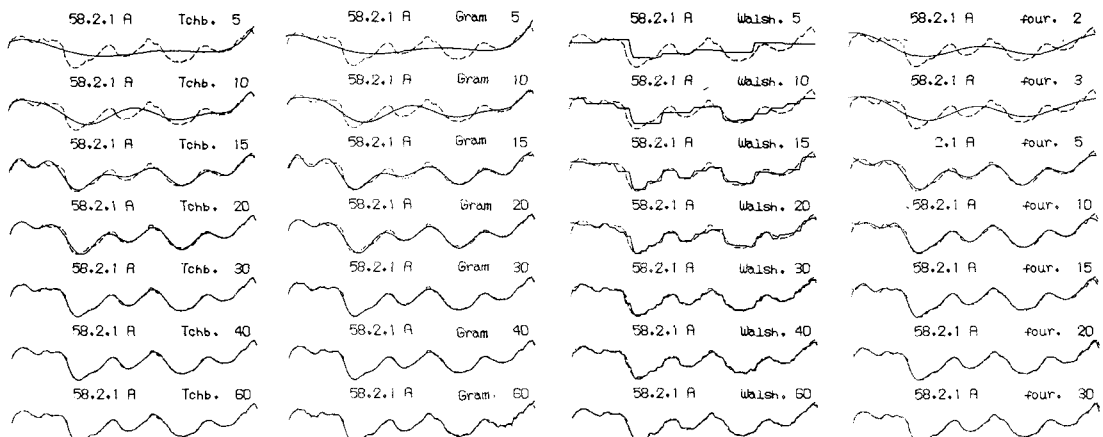


図4 冬季 わだち形状の近似(実線:近似曲線, 破線:測定曲線)

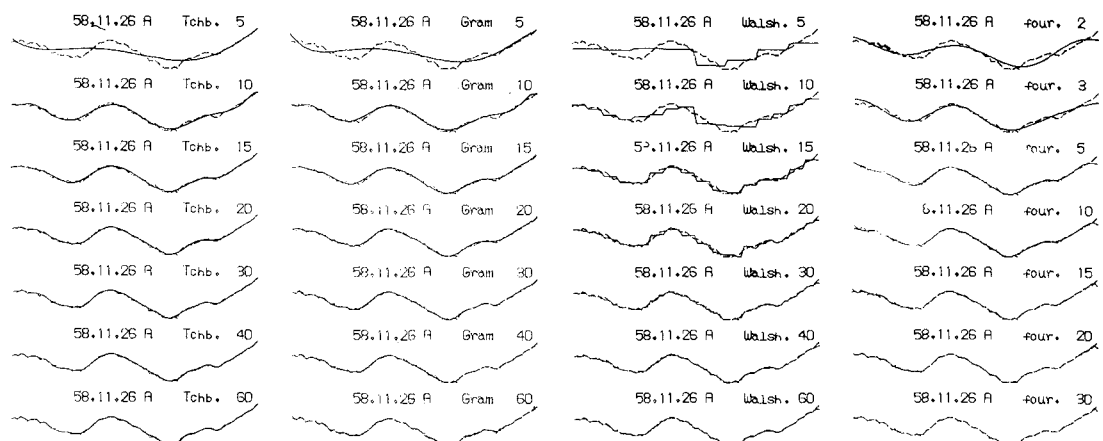


図5 夏季 わだち形状の近似(実線:近似曲線, 破線:測定曲線)

Walsh関数による近似は、当初の予想と大きく異なり、最も悪い近似しか与えない。しかししながら、Walsh関数による近似の悪さと、Fourier関数の近似の良さは、めでた路面形状を走行する車両の運動のモデル化にと、2つは都合の良い結果である。

めでた路面形状を測定する上において、測定装置の開発と測定法の確立は重要であり、筆者らの研究室においても日々検討中であるが、ここでは、離散的に形状を測定する場合のサンプリング間隔について言及してみたい。

図-6は Tchebychev関数(上段)とFourier関数(下段)による近似において、全データ(冬季3cm間隔に109ヶ、夏季5cm間隔に80ヶ)を用いた場合(太線)と一部データ(冬季16ヶ、夏季8ヶ)を用いた場合の近似係数 a_k (冬季 $a_0 \sim a_{16}$ 、夏季 $a_0 \sim a_7$)の大きさ(絶対値)を比較したものである。一部データの設定は、Fourier近似においては 等間隔に、Tchebychev近似においては $T_n[m \cos kx] = 0$ を満足するテビシエフ分点における値を線形補間により求めを行なった。全データを用いたFourier近似(太線)にあっては、 a_k と a_{16-k} の対称性が表めゆる因式を行なった。

図-6は、片側一車線幅のめでた形状を離散的に表現する場合に、冬季および夏季それぞれ 16ヶと8ヶのテビシエフ分点における測定を行なうことによって、十分精度をも、近似曲線を得ることが出来るこことを意味している。

5.まとめ

冬季および夏季の路面上のめでた形状の測定を行ない、その関数近似に関して、2, 3の知見を得た。

(1) 冬季路面のめでた形状は、測定された絶対値スティックではなく、Walsh関数よりも、夏季路面のめでた形状同様に、比較的少ない項数で Fourier近似され得る。

(2) 冬季では16点、夏季では8点程のテビシエフ分点におけるめでた量の測定によ、2、片側一車線幅のめでた形状を一応の精度をも、て推算する事が出来る。

(3) 当初予測した Walsh関数による近似は、有効な意義を持たなかつたが、だが、Yatesの算法を応用した高速Walsh変換および逆変換の数値計算算法は、実験計画学などにおいて利用され得るものと思われる。

しかししながら、ここで得られた結論は、めでた底の形成にと、ては理想状態とも言える大学構内路面から測定したデータに基づくものであり、大型車や多車線の影響については今後検討されなければならない。

参考文献

- (1)伏見、赤井；直交関数系、共立出版、1981
- (2)横山、松下；応用数値計算入門、コロナ社、1976
- (3)赤坂；数値計算、コロナ社、1967
- (4)森；数値解析、共立出版、1973
- (5)ラムチャンドラム、長谷川他訳；科学計算のための BASIC サブルーチン集-2(上)、現代数学社、1982
- (6)久保、小笠原；舗装路面形状と大型車の摩擦影響度について、開発局試験所月報 No.36, 1983
- (7)大崎；地盤動のためのスペクトル解析入門、鹿島出版、1976
- (8)市原；路面の凹凸、技術書院、1965
- (9)BRIGHAM；The Fast Fourier Transform, Prentice-Hall, 1974
- (10)Hamming；Digital Filters, Prentice-Hall, 1977

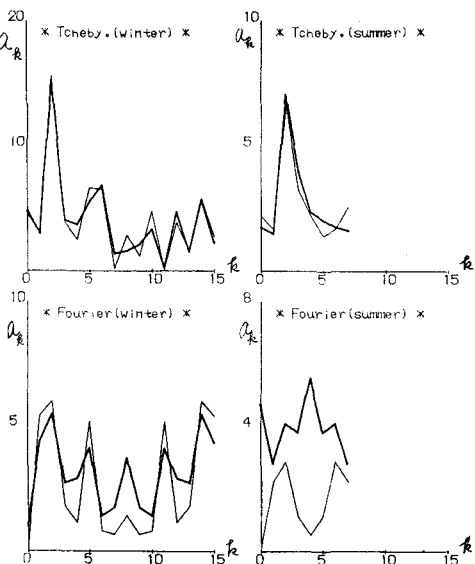


図-6 関数近似におけるサンプリングの影響(太線:全データ)